

Adopted Levels, Gammas

Type	Author	History	Citation	Literature Cutoff Date
Full Evaluation	Yang Dong, Huo Junde		NDS 121, 1 (2014)	20-Jun-2014

$Q(\beta^-) = -8244.55$  9;  $S(n) = 13378.5$  16;  $S(p) = 8853.8$  5;  $Q(\alpha) = -8417.1$  8    [2012Wa38](#)

[Additional information 1.](#)

Multipole giant resonance, see (e,e') ([2006Kh14](#)).

 $^{54}\text{Fe}$  LevelsCross Reference (XREF) Flags

<b>A</b>	$^{54}\text{Fe}(e,e')$	<b>N</b>	$^{54}\text{Fe}(\text{pol } d,d'),(d,d')$	Others:
<b>B</b>	$^{54}\text{Fe}(p,p')$	<b>O</b>	$^{52}\text{Cr}(\alpha,2n\gamma)$	<b>AA</b> Coulomb excitation
<b>C</b>	$^{52}\text{Cr}(^3\text{He},n)$	<b>P</b>	$^{58}\text{Ni}(d,^6\text{Li})$	<b>AB</b> $^{54}\text{Fe}(^6\text{Li},^6\text{Li}'),(\text{pol } ^7\text{Li},^7\text{Li}')$
<b>D</b>	$^{54}\text{Fe}(n,n'\gamma)$	<b>Q</b>	$^{40}\text{Ca}(^{16}\text{O},2p\gamma)$	<b>AC</b> $^{54}\text{Fe}(^{16}\text{O},^{16}\text{O}')$
<b>E</b>	$^{54}\text{Fe}(^3\text{He},2pn\gamma)$	<b>R</b>	$^{45}\text{Sc}(^{12}\text{C},2np\gamma)$ E=40 MeV	<b>AD</b> $^{60}\text{Ni}(p,X\gamma)$
<b>F</b>	$^{52}\text{Cr}(^{16}\text{O},^{14}\text{C})$	<b>S</b>	$^{54}\text{Co } \varepsilon$ decay (1.48 min)	<b>AE</b> $\text{Ni}(\pi^+,x\gamma), (\pi^-,X\gamma)$
<b>G</b>	$^{54}\text{Fe}(\pi,\pi')$	<b>T</b>	$^{50}\text{Cr}(^6\text{Li},pn\gamma),(^7\text{Li},2np\gamma)$	<b>AF</b> $\text{Ni}(K^-,x\text{ ray}\gamma)$
<b>H</b>	$^{50}\text{Cr}(^6\text{Li},d)$	<b>U</b>	$^{51}\text{V}(^6\text{Li},3n\gamma),(^7\text{Li},4n\gamma)$	<b>AG</b> $^{54}\text{Co } \varepsilon$ decay (193.28 ms)
<b>I</b>	$^{54}\text{Fe}(p,p'\gamma)$	<b>V</b>	$^{58}\text{Ni}(^3\text{He},^7\text{Be})$	<b>AH</b> $^{28}\text{Si}(^{36}\text{Ar},2\alpha 2p\gamma)$
<b>J</b>	$^{56}\text{Fe}(p,t)$	<b>W</b>	$^{28}\text{Si}(^{28}\text{Si},2p\gamma)$	<b>AI</b> $^{54}\text{Mn } \beta^-$ decay
<b>K</b>	$^{54}\text{Fe}(\alpha,\alpha')$	<b>X</b>	$^{50}\text{Cr}(\alpha,\gamma)$	<b>AJ</b> $^9\text{Be}(^{55}\text{Co},X\gamma)$
<b>L</b>	$^{54}\text{Fe}(n,n')$	<b>Y</b>	$^{54}\text{Fe}(\gamma,\gamma')$	<b>AK</b> $^{58}\text{Ni } \alpha$ decay
<b>M</b>	$^{54}\text{Fe}(\text{pol } p,p'),(\text{pol } P,P'\gamma)$	<b>Z</b>	$^{54}\text{Fe}(\alpha,\alpha'\gamma)$	

E(level) <sup>†</sup>	J <sup>π&amp;</sup>	T <sub>1/2</sub> <sup>@</sup>	XREF	Comments
0.0	0 <sup>+</sup>	stable	<a href="#">ABCDEFGHIJKLMN</a> <a href="#">OPQRSTUVWXYZ</a>	XREF: Others: <a href="#">AA</a> , <a href="#">AB</a> , <a href="#">AC</a> , <a href="#">AD</a> , <a href="#">AE</a> , <a href="#">AF</a> , <a href="#">AG</a> , <a href="#">AH</a> , <a href="#">AI</a> , <a href="#">AJ</a> , <a href="#">AK</a> the double $\beta$ decay of $^{54}\text{Fe}$ was investigated, upper limit on the half-time $>4.4 \times 10^{20}$ y, see <a href="#">1998Bi13</a> .
1408.19 19	2 <sup>+</sup>	0.76 ps 2	<a href="#">ABCDEFGHIJKLMN</a> <a href="#">OPQRSTUVWXYZ</a>	XREF: Others: <a href="#">AA</a> , <a href="#">AB</a> , <a href="#">AC</a> , <a href="#">AD</a> , <a href="#">AE</a> , <a href="#">AF</a> , <a href="#">AG</a> , <a href="#">AH</a> , <a href="#">AJ</a> , <a href="#">AK</a> $\mu = +2.40$ 49; $Q = -0.05$ 14 ( <a href="#">1981Le02</a> ) $B(E2)\uparrow = 0.062$ 5 ( <a href="#">2001Ra27</a> ) $\mu, Q$ : Compiled by <a href="#">2011StZZ</a> . $J^\pi$ : from L=2 in ( $^3\text{He},n$ ), ( $^6\text{Li},d$ ). $T_{1/2}$ : from Coulomb excitation ( <a href="#">2000Sp08</a> ). Others: 0.76 ps +35–22 in (p,p' $\gamma$ ); 2.3 ps +25–16 from DSAM in ( $\alpha,\alpha'\gamma$ ). $\mu$ : Weighted average values from <a href="#">1977Br23</a> and <a href="#">1977Fa07</a> . $B(E2)\uparrow$ : Others: 0.0676 38 for $^{54}\text{Fe}+^{16}\text{O}$ and $^{54}\text{Fe}+^{40}\text{Ca}$ ( <a href="#">1981Le02</a> ), 0.064 7 for $^{54}\text{Fe}+^{16}\text{O}$ ( <a href="#">1979Po08</a> ), 0.060 5 for $^{54}\text{Fe}+^{18}\text{O}$ ( <a href="#">1979Po08</a> ), 0.064 4 for $^{54}\text{Fe}+^{12}\text{C}$ and $^{54}\text{Fe}+^{13}\text{C}$ ( <a href="#">1979Po16</a> ), 0.061 12 for $^{54}\text{Fe}+^{12}\text{C}$ ( <a href="#">1967Af03</a> ); 0.045 ( <a href="#">1976Le12</a> ), 0.0595 ( <a href="#">1971DaZM</a> ), 0.051 2 ( <a href="#">1965Si02</a> ). $g$ : $g=1.05$ 6 ( <a href="#">2000Sp08</a> ), $g=1.05$ 17 ( <a href="#">1992Sp02</a> ), $g=1.08$ 19 ( <a href="#">1977Fa07</a> ), $g=1.68$ 38 ( <a href="#">1977Br23</a> ), $g=+0.95$ 11 ( <a href="#">2009Ea02</a> ).
2538.1 3	4 <sup>+</sup>	4.0 ps 8	<a href="#">ABCDEFGH</a> <a href="#">I</a> <a href="#">JKLMN</a> <a href="#">OPQRSTUVWXYZ</a> <a href="#">Z</a>	XREF: Others: <a href="#">AA</a> , <a href="#">AB</a> , <a href="#">AH</a> , <a href="#">AJ</a> , <a href="#">AK</a> XREF: C(2490). $J^\pi$ : from L=4 in (e,e'), ( $\alpha,\alpha'$ ). $T_{1/2}$ : from $^{40}\text{Ca}(^{16}\text{O},2p\gamma)$ , RDM. other: $\geq 2.1$ ps, DSAM in (p,p' $\gamma$ ).
2561.3 4	0 <sup>+</sup>	$\geq 1.4$ ps	<a href="#">B</a> <a href="#">DEF</a> <a href="#">HIJ</a> <a href="#">N</a> <a href="#">P</a>	XREF: Others: <a href="#">AG</a>

Continued on next page (footnotes at end of table)

**Adopted Levels, Gammas (continued)** $^{54}\text{Fe}$  Levels (continued)

E(level) <sup>†</sup>	J <sup>π</sup> &	T <sub>1/2</sub> <sup>@</sup>	XREF	Comments
				XREF: H(2550)N(2566). T <sub>1/2</sub> : From (p,p'γ). J <sup>π</sup> : from L=0 in ( <sup>6</sup> Li,d), (p,t). J <sup>π</sup> : from L=2 in (e,e'). XREF: Others: <a href="#">AB</a> , <a href="#">AH</a> , <a href="#">AK</a> μ=8.22 18 ( <a href="#">1989Ra17</a> ) XREF: AB(2950). J <sup>π</sup> : from γ(θ), linear polarization and DCO triple angular correlation ratios in (α,2nγ) ( <a href="#">1979St13</a> ). T <sub>1/2</sub> : weighted average from 1.22 ns 2 (P,py),( <a href="#">1971He21</a> ), 1.19 ns 3 in ε decay (1.48 min) ( <a href="#">1970Co32</a> ) and 1.24 ns 4 in ε decay (1.48 min) ( <a href="#">1971Sa07</a> ); other: ≥0.55 ps from DSAM ( <a href="#">1972Mo21</a> ).
2900 2949.2 5	2 <sup>+</sup> 6 <sup>+</sup>	1.22 ns 2	<a href="#">A</a> <a href="#">A</a> <a href="#">DEF</a> <a href="#">I</a> <a href="#">OPQRSTU</a> <a href="#">WX</a>	
2959.0 5	2 <sup>+</sup>	0.052 ps 7	<a href="#">ABCDE</a> <a href="#">GHIJKLMN</a> <a href="#">P</a> <a href="#">V</a> <a href="#">Z</a>	XREF: Others: <a href="#">AA</a> , <a href="#">AB</a> , <a href="#">AC</a> XREF: C(2940)H(2940)J(2950)K(2950)AB(2950). J <sup>π</sup> : from L=2 in ( <sup>6</sup> Li,d), (p,t). T <sub>1/2</sub> : weighted average of 0.052 ps 8 (p,p'γ) and 0.052 ps 7 (n,n'γ). Other: 1.6 ps +21-7, DSAM in (α,α'γ).
3166.0 5	2 <sup>+</sup>	0.15 ps +4-3	<a href="#">ABCDE</a> <a href="#">GHIJKLMN</a> <a href="#">P</a> <a href="#">Y</a>	XREF: Others: <a href="#">AA</a> , <a href="#">AB</a> XREF: C(3120)J(3150)AB(3160). T <sub>1/2</sub> : weighted average of 0.16 ps +4-3 (p,p'γ) and 0.14 ps +4-3 (n,n'γ). J <sup>π</sup> : from L=2 in (p,t), (α,α'). XREF: Others: <a href="#">AH</a>
3294.8 4	4 <sup>+</sup>	≥2.1 ps	<a href="#">AB</a> <a href="#">DE</a> <a href="#">GHIJKL</a>	T <sub>1/2</sub> : From (p,p'γ). J <sup>π</sup> : from L=4 in (p,t), (α,α'). XREF: Others: <a href="#">AH</a>
3344.8 3	3 <sup>+</sup>		<a href="#">AB</a> <a href="#">DE</a> <a href="#">I</a> <a href="#">N</a> <a href="#">Z</a>	XREF: Others: <a href="#">AH</a> XREF: A(3340). J <sup>π</sup> : from pγ(θ) and γγ(θ) in (p,p'γ). T <sub>1/2</sub> : ≥2.1 ps (p,p'γ); 0.3 ps +7-2, DSAM in (α,α'γ). J <sup>π</sup> : From γ's to 4 <sup>+</sup> , 6 <sup>+</sup> .
3437.4 82 3793.8 12 3833.2 4	4 <sup>+</sup> to 6 <sup>+</sup> 4 <sup>+</sup>	0.062 ps 12	<a href="#">E</a> <a href="#">E</a> <a href="#">BCDEFGHIJKL</a> <a href="#">P</a>	XREF: C(3800)H(3820)J(3830)K(3810)L(3830). T <sub>1/2</sub> : weighted average of 0.063 ps 14 from (p,p'γ) and 0.061 ps +15-11 from (n,n'γ). J <sup>π</sup> : from L=4 in (p,t), (α,α').
3841.0 11 4030.9 5	5 <sup>+</sup>	≥0.7 ps	<a href="#">E</a> <a href="#">M</a> <a href="#">B</a> <a href="#">DE</a> <a href="#">HIJ</a>	XREF: Others: <a href="#">AH</a> J <sup>π</sup> : from L( <sup>6</sup> Li,d)=(5,6), 736γ M1+E2 to 4 <sup>+</sup> . T <sub>1/2</sub> : From (p,p'γ). XREF: Others: <a href="#">AH</a> J <sup>π</sup> : from L=4 in (α,α'). XREF: F(4060). J <sup>π</sup> : From (p,p'γ), but L=(5) in (p,p'). J <sup>π</sup> : from L=4 in (e,e').
4047.8 4	4 <sup>+</sup>	0.30 ps +23-10	<a href="#">B</a> <a href="#">DE</a> <a href="#">G</a> <a href="#">I</a> <a href="#">KL</a>	
4071.6 8	3 <sup>+</sup>	0.058 ps 17	<a href="#">B</a> <a href="#">D</a> <a href="#">F</a> <a href="#">I</a>	
4099.7 11 4103.4 12 4267.8 4	4 <sup>+</sup> 4 <sup>+</sup>	0.082 ps +23-17	<a href="#">A</a> <a href="#">E</a> <a href="#">E</a> <a href="#">B</a> <a href="#">DEFGHIJKLM</a>	XREF: F(4280)M(4279). J <sup>π</sup> : from L=4 in (α,α'), (p,t); but L( <sup>6</sup> Li,d)=(4+0). XREF: C(4250)I(4286.4). J <sup>π</sup> : from L( <sup>3</sup> He,n)=0 and strong pair-line spectrum with no corresponding γ in (p,p'γ) ( <a href="#">1980PaZM</a> ). XREF: F(4590)M(4553). J <sup>π</sup> : from L=2 in (α,α'), ( <sup>3</sup> He,n).
4290.8 7	0 <sup>+</sup>	0.055 ps +17-14	<a href="#">BCD</a> <a href="#">HI</a> <a href="#">Y</a>	
4578.5 9	2 <sup>+</sup>	≤0.007 ps	<a href="#">ABCD</a> <a href="#">FG</a> <a href="#">I</a> <a href="#">K</a> <a href="#">M</a>	

Continued on next page (footnotes at end of table)

**Adopted Levels, Gammas (continued)** $^{54}\text{Fe}$  Levels (continued)

E(level) <sup>†</sup>	J <sup>π</sup> &	T <sub>1/2</sub> <sup>@</sup>	XREF	Comments
4655.3 8			B DE I	XREF: Others: <a href="#">AH</a> J <sup>π</sup> : J≤6, from γ's to 4 <sup>+</sup> . J <sup>π</sup> : J≤4, from γ to 2 <sup>+</sup> .
4696? 3			D I	
4700.1 9			B D I	
4781.9 6	3 <sup>-</sup>	0.033 ps 11	AB D G IJKLMN P V	XREF: K(4760). J <sup>π</sup> : from L=3 in (α,α'), (e,e'). E(level): from (pol d,d') and (e,e'). J <sup>π</sup> : from L=3 in (pol d,d') and (e,e').
4850	3 <sup>-</sup>		A N	XREF: H(4920). J <sup>π</sup> : from L(6Li,d)=4; but L is odd in (α,α').
4948.7 8	4 <sup>(+)</sup>	0.029 ps 10	B D GHI K	XREF: Others: <a href="#">AH</a> J <sup>π</sup> : from 3672γ to 2 <sup>+</sup> , 5080γ to 0 <sup>+</sup> . XREF: H(5120). J <sup>π</sup> : from L(6Li,d)=2.
5044.8 9	5 <sup>-</sup> ,6 <sup>+C</sup>		B E	XREF: J(5200). J <sup>π</sup> : from L(3He,n)=0.
5080 4	(1,2 <sup>+</sup> )		AB D F	J <sup>π</sup> : J≤4, from γ to 2 <sup>+</sup> .
5145 6	2 <sup>+</sup>		B D GH	XREF: Others: <a href="#">AH</a> J <sup>π</sup> : J≤4, from γ to 2 <sup>+</sup> .
5233 10	0 <sup>+</sup>		BC J	
5248 6			B D H	
5278.8 11			B DE	
5313 10			B	
5325 10			B F	
5392 6	2 <sup>+</sup>		BCD G	XREF: C(5380). J <sup>π</sup> : from L(3He,n)=2.
5404 10			B	
5431.1 13			E	
5453 7	(1,2 <sup>+</sup> )		B D	J <sup>π</sup> : from γ to 0 <sup>+</sup> .
5461.2 11			E	
5482.0	3 <sup>+</sup> ,4 <sup>+</sup>		B D	XREF: Others: <a href="#">AH</a> J <sup>π</sup> : from 4074γ to 2 <sup>+</sup> and 1435γ to 4 <sup>+</sup> , so 2 <sup>+</sup> , 3 <sup>+</sup> , 3 <sup>-</sup> , and 4 <sup>+</sup> are likely, 2944γ (M1+E2) to 4 <sup>+</sup> , J <sup>π</sup> =3 <sup>+</sup> , 4 <sup>+</sup> . J <sup>π</sup> : from L(6Li,d)=(2).
5506 6	(2 <sup>+</sup> )		B D H	
5523 10			B	
5539 6	3 <sup>-</sup>		B D F	J <sup>π</sup> : L(α,α')=3.
5592 10			B	
5621 6	(3 <sup>-</sup> )		B D G J	XREF: J(5640). J <sup>π</sup> : from L(p,t)=(3). J <sup>π</sup> : from L(p,p')=4.
5657 5	4 <sup>+</sup>		B	
5666 10			B	
5703 5	4 <sup>+</sup>		B V	XREF: V(5720). J <sup>π</sup> : from L(p,p')=4.
5787 10			B	
5809 7	2 <sup>+C</sup>		B D	
5828 7			B D	XREF: B(5837). J <sup>π</sup> : J≤4, from γ to 2 <sup>+</sup> .
5875 10			B	
5907 5	3 <sup>-C</sup>		B	
5919.3 12			B E	
5927.4 5	7 <sup>+</sup>		B F H	XREF: Others: <a href="#">AH</a> XREF: B(5934)F(5940). J <sup>π</sup> : From 1895γ to 5 <sup>+</sup> , 2979γ (M1+E2) to 6 <sup>+</sup> . J <sup>π</sup> : from L(p,p')=2.
5955 8	2 <sup>+</sup>		B D	
6023 10			B	
6038 8	(1,2 <sup>+</sup> )		B D	J <sup>π</sup> : from γ to 0 <sup>+</sup> .
6057 5			B H	XREF: H(6050). J <sup>π</sup> : from L(6Li,d)=2. L(p,p')=5.6.
6100 10			B F	

Continued on next page (footnotes at end of table)

Adopted Levels, Gammas (continued) $^{54}\text{Fe}$  Levels (continued)

E(level) <sup>†</sup>	J <sup>π&amp;</sup>	T <sub>1/2</sub> <sup>@</sup>	XREF				Comments
6128.7 6	1		B D H		Y		Γ=0.027 eV 4; Γ <sub>γ0</sub> =0.025 eV 4 (1976La02) J <sup>π</sup> : from 6129γ(θ) in (γ,γ').
6156 10			B				
6192 5	2 <sup>+</sup>		B				J <sup>π</sup> : from L(p,p')=2.
6212 10			B				
6238 10			B				
6259 5			B				
6296.8 16	7 <sup>+</sup>		B				XREF: Others: AH XREF: B(6285). J <sup>π</sup> : From γ to 6 <sup>+</sup> . XREF: M(6355). J <sup>π</sup> : from L(α,α')=L(p,p')=3.
6341 5	3 <sup>-</sup>		B G JK M				XREF: Others: AH J <sup>π</sup> : 3432γ with E2 to 6 <sup>+</sup> . 146γ with E2 from 10 <sup>+</sup> . T <sub>1/2</sub> : from DSAM in ( <sup>6</sup> Li,pnγ) (1979Gu07); <1.4 ns from RDM in ( <sup>16</sup> O,2pγ) (1978Da09).
6380.9 11	8 <sup>+</sup>	114 fs +28-21	E		O QR TU		J <sup>π</sup> : from L( <sup>3</sup> He,n)=0. XREF: J(6410). J <sup>π</sup> : from L(e,e')=L(d,d')=3.
6400 10	0 <sup>+</sup>		C G				
6401 10	3 <sup>-</sup>		AB F J L N				
6429 5	2 <sup>+</sup> <sup>C</sup>		B				
6442 10			B				
6484 5	4 <sup>+</sup> <sup>C</sup>		B				
6510 15				J			
6527.1 11	10 <sup>+</sup>	364 ns 7	B E		O QR TU		XREF: Others: AH Q=+0.285 25; μ=+7.281 10 (1989Ra17) Q: From weighted average values from 1984Ha07 and 1983Ra03. J <sup>π</sup> : from 146γ (E2) to 8 <sup>+</sup> and 3577γ (E4) to 6 <sup>+</sup> . T <sub>1/2</sub> : from <sup>40</sup> Ca( <sup>16</sup> O,2pγ). Other: 358 ns 31 from <sup>52</sup> Cr(α,2nγ). XREF: Others: AH
6551.0 11							
6563 5	(1 <sup>-</sup> ) <sup>C</sup>		B				
6594 10			B				
6607 5	4 <sup>+</sup> <sup>C</sup>		B				
6648 10			B				
6663 10			B				
6670 5	4 <sup>+</sup> <sup>C</sup>		B				
6710 10	3 <sup>-</sup>		B	J			J <sup>π</sup> : from L(p,t)=3.
6724.1 24	9 <sup>+</sup>	≈41 ps	E		O QR		XREF: Others: AH J <sup>π</sup> : From M1(+E2) 197γ to 10 <sup>+</sup> . T <sub>1/2</sub> : from <sup>40</sup> Ca( <sup>16</sup> O,2pγ).
6749 5	3 <sup>-</sup> <sup>C</sup>		B				
6774 5	1 <sup>-</sup> <sup>C</sup>		B				
6804 10			B				
6821 5	5 <sup>-</sup> ,6 <sup>+</sup> <sup>C</sup>		B				
6836 10			B				
6864.3 6	8 <sup>+</sup>						XREF: Others: AH J <sup>π</sup> : From 3915γ (E2) to 6 <sup>+</sup> .
6881 5	4 <sup>+</sup> <sup>C</sup>		B				
6910 20			C				
6951 5			AB F J				XREF: F(6990)J(6970). J <sup>π</sup> : L(p,p')=3, L(e,e')=2.
7011 10	3 <sup>-</sup> <sup>C</sup>		B F				XREF: F(6990).
7040 <sup>‡</sup> 10			AB				XREF: A(7030)B(7050). J <sup>π</sup> : L(p,p')=5,6, L(e,e')=2.

Continued on next page (footnotes at end of table)

**Adopted Levels, Gammas (continued)** $^{54}\text{Fe}$  Levels (continued)

E(level) <sup>†</sup>	J <sup>π</sup> &	XREF		Comments
7074.8 17				XREF: Others: <a href="#">AH</a>
7110 20	(2 <sup>+</sup> ,3 <sup>-</sup> ) <sup>b</sup>	A		
7128 10	6 <sup>+</sup>	B	H	J <sup>π</sup> : from L( <sup>6</sup> Li,d)=6.
7155 10		B		
7180 10	(1) <sup>b</sup>	A		
7200 <sup>#</sup> 30	4 <sup>+</sup>	A C F		J <sup>π</sup> : from L(e,e')=4.
7260 <sup>#</sup> 20	3 <sup>-</sup>	AB	K	XREF: B(7270)K(7250). J <sup>π</sup> : from L(p,p')=3.
7310 20	(2 <sup>+</sup> ,3 <sup>-</sup> ) <sup>b</sup>	A		
7351.5 6	(9 <sup>+</sup> )			XREF: Others: <a href="#">AH</a> J <sup>π</sup> : From 971.6γ to 8 <sup>+</sup> .
7377 10	2 <sup>+</sup> <sup>c</sup>	AB		XREF: A(7360).
7442 10		aB		XREF: a(7470).
7486 10	3 <sup>-</sup> <sup>c</sup>	aB		XREF: a(7470).
7505 4	10 <sup>+</sup>		O	XREF: Others: <a href="#">AH</a> J <sup>π</sup> : From 780γ to 9 <sup>+</sup> .
7550 20	(2 <sup>+</sup> ) <sup>b</sup>	A		
7560 20	0 <sup>+</sup>	C		J <sup>π</sup> : from L( <sup>3</sup> He,n)=0.
7565.8 18				XREF: Others: <a href="#">AH</a>
7580 25	2 <sup>+</sup>		JK	E(level): from (p,t). J <sup>π</sup> : from L=2 in (α,α') and (p,t).
7603 10	3 <sup>-</sup> <sup>c</sup>	AB		
7644 10	3 <sup>-</sup> <sup>c</sup>	AB	F	
7674 10	+	AB		J <sup>π</sup> : L(p,p')=4, L(e,e')=2.
7760 20	(2 <sup>+</sup> ) <sup>b</sup>	A		
7791 10		AB		J <sup>π</sup> : L(p,p')=3, L(e,e')=2.
7859 <sup>‡</sup> 10		AB		XREF: A(7850)B(7868). J <sup>π</sup> : L(p,p')=3, L(e,e')=2.
7905 10		B		
7938 10	+	AB		XREF: A(7930). J <sup>π</sup> : L(p,p')=0, L(e,e')=2.
7940 20	3 <sup>-</sup>	C		J <sup>π</sup> : from L( <sup>3</sup> He,n)=3.
8005 10	3 <sup>-</sup>	AB	H K	XREF: H(7970).
8021 4	(11) <sup>+</sup>		F O	J <sup>π</sup> : from L(α,α')=L(p,p')=3, but L=4, (3) in ( <sup>6</sup> Li,d). XREF: Others: <a href="#">AH</a> XREF: F(8050). J <sup>π</sup> : J=9 to 11 from γ with M1(+E2) to 10 <sup>+</sup> .
8114 <sup>‡</sup> 10	1 <sup>+</sup> <sup>a</sup>	AB		XREF: A(8110)B(8117).
8179 10	1 <sup>-</sup>	AB	F	J <sup>π</sup> : L(e,e')=1.
8225 10		AB		XREF: A(8210).
8298 10	(2 <sup>+</sup> ) <sup>b</sup>	AB		XREF: A(8270).
8318.8 17	8 <sup>-</sup>	A		XREF: Others: <a href="#">AH</a> XREF: A(7314). J <sup>π</sup> : from fit of squared inelastic form factor for 8 <sup>-</sup> to experimental data. Purely transverse and most probably magnetic transition, T=1.
8334 10	1 <sup>+</sup> <sup>a</sup>	AB		XREF: B(8330).
8374.3 11	(10 <sup>+</sup> )			XREF: Others: <a href="#">AH</a> J <sup>π</sup> : From 1994γ to 8 <sup>+</sup> .
8410 10		A C		E(level): from ( <sup>3</sup> He,n). Probably a doublet.
8440 10		AB	H	J <sup>π</sup> : L( <sup>3</sup> He,n)=0; excitation multipolarity E2 from (e,e').
8450 20	1 <sup>+</sup> <sup>a</sup>	B		J <sup>π</sup> : L(p,p')=3, L(e,e')=2.
8465 10	3 <sup>-</sup>	AB		XREF: A(8480).

Continued on next page (footnotes at end of table)

**Adopted Levels, Gammas (continued)** $^{54}\text{Fe}$  Levels (continued)

E(level) <sup>†</sup>	J <sup>π</sup> &	XREF	Comments
8521 10	5 <sup>-</sup> ,6 <sup>+</sup> <sup>c</sup>	B	J <sup>π</sup> : L(p,p')=3.
8560 10	(1,2 <sup>-</sup> ) <sup>b</sup>	A	
8577.8 7	(10 <sup>+</sup> )		XREF: Others: <a href="#">AH</a> J <sup>π</sup> : From 559γ to 11 <sup>+</sup> , 1226γ to 9 <sup>+</sup> .
8610 <sup>#</sup> 10	(2 <sup>-</sup> ) <sup>b</sup>	A F	
8633 10	1 <sup>-c</sup>	Bc	XREF: c(8640). J from L(p,p')=1.
8666 10		ABc	XREF: A(8650)c(8640).
8680 10	(2) <sup>b</sup>	A	
8740 10		A	
8808.0 6	(11 <sup>+</sup> )		XREF: Others: <a href="#">AH</a> J <sup>π</sup> : From 2282γ to 10 <sup>+</sup> .
8850 10	1 <sup>+</sup> <sup>a</sup>	ABC	XREF: C(8860).
8886 <sup>‡</sup> 10	3 <sup>-c</sup>	AB	XREF: A(8900)B(8882).
8930 10	2 <sup>-b</sup>	A	
8949 <sup>‡</sup> 10	8 <sup>-</sup>	A	J <sup>π</sup> : from fit of squared inelastic form factor for 8 <sup>-</sup> to experimental data.
8952 10	3 <sup>-</sup>	B	J <sup>π</sup> : L(p,p')=3.
8981 <sup>‡</sup> 10	1 <sup>+</sup> <sup>a</sup>	AB	XREF: A(8980)B(8982).
9062 <sup>‡</sup> 10	1 <sup>+</sup> <sup>a</sup>	ABC	XREF: A(9060)B(9064)C(9640).
9110 10		AB	
9123.6 12			XREF: Others: <a href="#">AH</a>
9140 <sup>#</sup> 10	1 <sup>+</sup> <sup>a</sup>	AB	
9150 10	3 <sup>-c</sup>	B	
9243 <sup>‡</sup> 10		AB	XREF: A(9240)B(9246).
9290 20	1 <sup>+</sup> <sup>a</sup>	B	J <sup>π</sup> : L(p,p')=0, M2,E3 in (e,e').
9300 20		AB	XREF: B(9302).
9353 10	3 <sup>-c</sup>	AB	
9402 10	3 <sup>-c</sup>	B	
9410 20	1 <sup>+</sup> <sup>a</sup>	AB F	XREF: A(9400).
9450 10	1 <sup>a</sup>	A	
9506 <sup>‡</sup> 10	3 <sup>-c</sup>	AB	XREF: A(9500)B(9513).
9530 <sup>#</sup> 10	1 <sup>+</sup> <sup>a</sup>	AB	
9568 <sup>‡</sup> 10		AB	XREF: A(9570)B(9565).
9610 30		C	
9640 10		A	
9671 <sup>‡</sup> 10	3 <sup>-c</sup>	AB	XREF: A(9680)B(9662).
9716 10		AB	XREF: A(9730).
9747 10	3 <sup>-c</sup>	B	
9789		B	
9810 10		A	
9845.3 7	(12 <sup>+</sup> )		XREF: Others: <a href="#">AH</a> J <sup>π</sup> : From 3319γ to 10 <sup>+</sup> , 1826γ to 11 <sup>+</sup> .
9860 10		A	
9910 <sup>#</sup> 10		AB F	XREF: F(9920).
9940 20	1 <sup>+</sup> <sup>a</sup>	B F	XREF: F(9920).
9974 10	8 <sup>-</sup>	A	J <sup>π</sup> : from fit of squared inelastic form factor for 8 <sup>-</sup> to experimental data. Purely transverse and most probably magnetic transition, T=1.
9984 10		ABC	J <sup>π</sup> : L( <sup>3</sup> He,n)=2. L(p,p')=3.
9995.4? 11			XREF: Others: <a href="#">AH</a>
10027 <sup>‡</sup> 10	(3 <sup>-</sup> ) <sup>c</sup>	AB	XREF: A(10020)B(10033).

Continued on next page (footnotes at end of table)

**Adopted Levels, Gammas (continued)**

$^{54}\text{Fe}$ Levels (continued)			
E(level) <sup>†</sup>	J <sup>π</sup> &	XREF	Comments
10045		B	
10050 <sup>#</sup> 10	1 <sup>+</sup> <sup>a</sup>	AB	XREF: B(10060).
10083 <sup>‡</sup> 10	(3 <sup>-</sup> ) <sup>c</sup>	AB	XREF: A(10090)B(11076).
10131.0 9	(12 <sup>+</sup> )		XREF: Others: <a href="#">AH</a> J <sup>π</sup> : From γ's to 11 <sup>+</sup> .
10137 10	2 <sup>+</sup> <sup>c</sup>	AB	XREF: A(10130)B(10144).
10180 <sup>‡</sup> 10	1 <sup>+</sup> <sup>a</sup>	AB	XREF: B(10160). J <sup>π</sup> : from a very forward-peaked angular distribution characteristic of a ΔL=0 ( <a href="#">1983Dj05</a> ).
10213 <sup>‡</sup> 10		AB	XREF: A(10220)B(10205).
10250 20	0 <sup>+</sup>	BC	XREF: B(10256). J <sup>π</sup> : from L( <sup>3</sup> He,n)=0.
10290 10		AB	E(level): isobaric analog of 1460 level of <sup>54</sup> Mn.
10342 10	4 <sup>+</sup> <sup>c</sup>	B	XREF: B(10300).
10380 20		A	
10450 20		AB	
10535 <sup>‡</sup> 10	1 <sup>+</sup> <sup>a</sup>	AB	XREF: B(10455).
10542.0 7	(11)		XREF: A(10530)B(10541). J <sup>π</sup> : transverse excitation into state of low multipolarity, T=2.
10586 10		AB	XREF: Others: <a href="#">AH</a>
10630 20		AB	J <sup>π</sup> : From γ's to 10 <sup>+</sup> , (10 <sup>+</sup> ), 11 <sup>+</sup> .
10660 10	(2 <sup>-</sup> ) <sup>b</sup>	A	XREF: A(10590).
10677 10	8 <sup>-</sup>	A	XREF: B(10608).
10700 10	0 <sup>+</sup>	C	J <sup>π</sup> : from fit of squared inelastic form factor for 8 <sup>-</sup> to experimental data. Purely transverse and most probably magnetic transition, T=1.
10740 20		A	E(level): isobaric analog of 2110 level of <sup>54</sup> Mn.
10780 20		A	J <sup>π</sup> : from L( <sup>3</sup> He,n)=0.
10820 <sup>#</sup> 10		A C	
10870 20		A	XREF: C(10830).
10910 <sup>#</sup> 20		A C	
11010 <sup>#</sup> 10	1 <sup>+</sup> <sup>a</sup>	ABC	XREF: C(10950).
11050 10		A	XREF: B(11020)C(10950).
11093.4 7	(13 <sup>+</sup> )	A	XREF: Others: <a href="#">AH</a> XREF: A(11090).
11113.6 8	(12)		J <sup>π</sup> : From 1248γ to 12 <sup>+</sup> , 3074γ to 11 <sup>+</sup> . XREF: Others: <a href="#">AH</a>
11120 <sup>#</sup> 10	1 <sup>+</sup> <sup>a</sup>	ABC	J <sup>π</sup> : From 571.5γ to (11), 2306γ to 11 <sup>+</sup> .
11230 10		A	XREF: B(11110).
11280 10		AB	
11320 <sup>#</sup> 20	1 <sup>+</sup> <sup>a</sup>	AB	XREF: B(11262).
11360 10		A	XREF: B(11310).
11440 <sup>#</sup> 20	2 <sup>+</sup>	A C	
11447		B	XREF: C(11460).
11520 <sup>#</sup> 10	1 <sup>+</sup> <sup>a</sup>	AB	J <sup>π</sup> : from L( <sup>3</sup> He,n)=2.
11620 30		BC	XREF: B(11540).
11710 <sup>#</sup> 20		A C	XREF: B(11604).
11750 <sup>#</sup> 10	1 <sup>+</sup> <sup>a</sup>	AB	XREF: C(11740).
			XREF: B(11760).

Continued on next page (footnotes at end of table)

**Adopted Levels, Gammas (continued)** $^{54}\text{Fe}$  Levels (continued)

E(level) <sup>†</sup>	J <sup>π</sup> &	XREF	Comments
11790 10		A	
11850 30	2 <sup>+</sup>	C	J <sup>π</sup> : from L( <sup>3</sup> He,n)=2.
11920 20	1 <sup>+</sup> <sup>a</sup>	B	
11950 20	1 <sup>+</sup> <sup>a</sup>	B	
12040 20	0 <sup>+</sup>	C	J <sup>π</sup> : from L( <sup>3</sup> He,n)=0.
12043.0 9	(13)		XREF: Others: <a href="#">AH</a>
			J <sup>π</sup> : From 929γ to (12).
12100 50	2 <sup>+</sup>	C	J <sup>π</sup> : from L( <sup>3</sup> He,n)=2.
12314.1 8	(14 <sup>+</sup> )		XREF: Others: <a href="#">AH</a>
			J <sup>π</sup> : From 1220.7γ to 13 <sup>+</sup> , 2183γ to (12).
12953.3 12	(14 <sup>+</sup> )		XREF: Others: <a href="#">AH</a>
			J <sup>π</sup> : From 1860γ to 13 <sup>+</sup> .
13000 20	1 <sup>+</sup> <sup>a</sup>	B	
13263 10	8 <sup>-</sup>	A	J <sup>π</sup> : from fit of squared inelastic form factor for 8 <sup>-</sup> to experimental data.
			Purely transverse and most probably magnetic transition, T=2.
13358.0 14			XREF: Others: <a href="#">AH</a>
13520 20	0 <sup>+</sup>	C	J <sup>π</sup> : from L( <sup>3</sup> He,n)=0.
13730 30	4 <sup>+</sup>	C	J <sup>π</sup> : from L( <sup>3</sup> He,n)=4.
13900 20	1 <sup>+</sup> <sup>a</sup>	B	
14050 50		C	
14388.3 14			XREF: Others: <a href="#">AH</a>
14540 30		C	
14590 30		C	
14700 30		C	
14730 30		C	
14850 30	2 <sup>+</sup>	C	J <sup>π</sup> : from L( <sup>3</sup> He,n)=2.
14870 20	0 <sup>+</sup>	C	J <sup>π</sup> : from L( <sup>3</sup> He,n)=0.
			E(level): isobaric analog of 6150 level of <sup>54</sup> Mn.
15062.0? 24			XREF: Others: <a href="#">AH</a>

<sup>†</sup> Energies for states connected by γ-rays from using least-squares fits, others from (p,p'), except as noted.

<sup>‡</sup> From unweighted average values of (p,p') and (e,e').

# From (e,e').

@ From DSAM (p,p'γ), except as noted.

& Mainly based on pγ(θ) and γγ(θ) in (p,p'γ) and measured L values.

<sup>a</sup> ΔL=0 spin-flip transitions, characteristic very forward peaked angular distribution, DWIA, see (p,p') [1983Dj05](#).

<sup>b</sup> Multipolarity of excitation from (e,e') (some L tentative), B(M1) and B(M2) from high resolution electron scattering (e,e'). See [1985So05](#).

<sup>c</sup> From L(p,p').



## Adopted Levels, Gammas (continued)

$\gamma(^{54}\text{Fe})$										
$E_i(\text{level})$	$J_i^\pi$	$E_\gamma^\dagger$	$I_\gamma^\ddagger$	$E_f$	$J_f^\pi$	Mult.	$\delta^f$	$\alpha^g$	$I_{(\gamma+ce)}$	Comments
1408.19	2 <sup>+</sup>	1408.1 2	100	0.0	0 <sup>+</sup>	E2 <sup>e</sup>				B(E2)(W.u.)=11.1 3
2538.1	4 <sup>+</sup>	1129.9 3	100	1408.19	2 <sup>+</sup>	E2 <sup>e</sup>				B(E2)(W.u.)=6.3 13
2561.3	0 <sup>+</sup>	1153.1 3	100	1408.19	2 <sup>+</sup>	E2 <sup>b</sup>				B(E2)(W.u.)<16
		2561.3		0.0	0 <sup>+</sup>	E0 <sup>b</sup>			0.17 3	E <sub>γ</sub> : from (p,p'γ). B(E0)(2561γ):B(E2)(1153γ)=0.49 8 in (p,p'γ). I <sub>(γ+ce)</sub> : from electron-pair measurement (1972Wa28). α(K)=0.00233; α(L)=0.00023 B(E2)(W.u.)=3.24 6 Additional information 2.
2949.2	6 <sup>+</sup>	411.4 5	100	2538.1	4 <sup>+</sup>	E2 <sup>e</sup>		0.00263		B(M1)(W.u.)=0.051 8; B(E2)(W.u.)=0.4 4 δ: from (p,p'γ). Other: 0.10 2 (n,n'γ). B(E2)(W.u.)=2.2 4 δ: -0.087 from 1970Kr02.
2959.0	2 <sup>+</sup>	1550.7 5	82 5	1408.19	2 <sup>+</sup>	M1+E2 <sup>b</sup>	0.10 4			B(M1)(W.u.)=0.0036 +21-22; B(E2)(W.u.)=1.0 +13-10 δ: others: δ≥2.4; or δ≤-10 from (p,p'γ) also.
		2959.4 8	100 5	0.0	0 <sup>+</sup>	E2 <sup>b</sup>				B(E2)(W.u.)=0.80 +17-22 B(M1)(W.u.)<0.020; B(E2)(W.u.)<2.7 δ: other: +7.1 ( <sup>3</sup> He,2pnγ).
3166.0	2 <sup>+</sup>	1757.6 5	23 4	1408.19	2 <sup>+</sup>	M1+E2 <sup>b</sup>	0.63 +57-25			B(E2)(W.u.)<0.15 B(M1)(W.u.)<0.0086; B(E2)(W.u.)<0.022 B(M1)(W.u.)<0.00068; B(E2)(W.u.)<0.11 δ: others: +1.3 +14-∞ ( <sup>3</sup> He,2pnγ), -0.7 +2-23 (p,p'γ).
3294.8	4 <sup>+</sup>	3166.0 10 756.6 3	100 4 100 5	0.0 2538.1	0 <sup>+</sup> 4 <sup>+</sup>	E2 <sup>b</sup> M1+E2 <sup>c</sup>	0.15 <sup>c</sup> 5			
3344.8	3 <sup>+</sup>	1887 <sup>d</sup> 1 806.5 3 1936.5 4	19 5 75 5 100 5	1408.19 2538.1 1408.19	2 <sup>+</sup> 4 <sup>+</sup> 2 <sup>+</sup>	(E2) <sup>d</sup> M1+E2 <sup>c</sup> M1+E2 <sup>c</sup>	0.02 <sup>c</sup> 1 0.51 <sup>c</sup> 4			
3437.4	4 <sup>+</sup> to 6 <sup>+</sup>	487.9 <sup>a</sup> 899.5 <sup>a</sup>	100 <sup>a</sup> 20 <sup>a</sup>	2949.2 2538.1	6 <sup>+</sup> 4 <sup>+</sup>					
3793.8		844.6 <sup>a</sup>	100 <sup>a</sup>	2949.2	6 <sup>+</sup>					
3833.2	4 <sup>+</sup>	538.6 <sup>b</sup>	≤2.2	3294.8	4 <sup>+</sup>					B(E2)(W.u.)=19 7 B(E2)(W.u.)=8.1 17
		1294.9 4	10 3	2538.1	4 <sup>+</sup>	E2 <sup>b</sup>				
		2425.2 7	100 3	1408.19	2 <sup>+</sup>	E2 <sup>b</sup>				
3841.0		2432.7 <sup>a</sup>	100 <sup>a</sup>	1408.19	2 <sup>+</sup>					
4030.9	5 <sup>+</sup>	736.4 4	100 <sup>d</sup> 7	3294.8	4 <sup>+</sup>	(M1+E2) <sup>d</sup>	+0.14 <sup>d</sup> +10-7			B(M1)(W.u.)<0.036; B(E2)(W.u.)<6.5 E <sub>γ</sub> : from unweighted average of 736.0 4 (n,n'γ) and 736.8 4 ( <sup>36</sup> Ar,2α2pnγ). Additional information 3.
		1494 <sup>d</sup> 1	20 <sup>d</sup> 4	2538.1	4 <sup>+</sup>	M1+E2	-1.2 +12-3	5		B(M1)(W.u.)<0.00078; B(E2)(W.u.)<0.89 Mult.,δ: From ( <sup>3</sup> He,2pnγ). B(M1)(W.u.)=(0.15 +5-12); B(E2)(W.u.)=(3.E+1 3) Mult.: from D+Q in (p,p'γ) and γ to 3 <sup>+</sup> .
4047.8	4 <sup>+</sup>	703.0 3	100 <sup>a</sup>	3344.8	3 <sup>+</sup>	M1(+E2)	0.23 9			

## Adopted Levels, Gammas (continued)

$\gamma(^{54}\text{Fe})$ (continued)								
$E_i(\text{level})$	$J_i^\pi$	$E_\gamma^{\dagger}$	$I_\gamma^{\ddagger}$	$E_f$	$J_f^\pi$	Mult.	$\delta^f$	Comments
4047.8	4 <sup>+</sup>	1089.2 <sup>a</sup>	4 <sup>a</sup>	2959.0	2 <sup>+</sup>			
		1509.4 8	11 <sup>a</sup>	2538.1	4 <sup>+</sup>	M1,E2		Mult.: from recommended upper limits for $\gamma$ -ray strengths, $\gamma$ to 4 <sup>+</sup> .
		2639.4 4	23 <sup>a</sup>	1408.19	2 <sup>+</sup>	[E2]		B(E2)(W.u.)=0.20 +7-16
4071.6	3 <sup>+</sup>	1534 <sup>b</sup>	9 3	2538.1	4 <sup>+</sup>	E2		B(E2)(W.u.)=8 4
								Mult.: from mult.=Q in (p,p' $\gamma$ ) and RUL, mult=M2 is ruled out.
		2662.7 5	100 3	1408.19	2 <sup>+</sup>	M1+E2 <sup>b</sup>	1.88 +50-44	B(M1)(W.u.)=0.0041 21; B(E2)(W.u.)=4.3 14
4099.7	4 <sup>+</sup>	804.9 <sup>a</sup>	100 <sup>a</sup>	3294.8	4 <sup>+</sup>			
4103.4		1154.2 <sup>a</sup>	100 <sup>a</sup>	2949.2	6 <sup>+</sup>			
4267.8	4 <sup>+</sup>	1729.6 4	100 <sup>b</sup> 18	2538.1	4 <sup>+</sup>	M1+E2 <sup>b</sup>	-0.53 24	B(M1)(W.u.)=0.032 +12-14; B(E2)(W.u.)=6 5
		2859.6 6	27 <sup>b</sup> 8	1408.19	2 <sup>+</sup>	E2		B(E2)(W.u.)=0.63 +25-28
								Mult.: from mult.=Q in (p,p' $\gamma$ ) and RUL, mult=M2 is ruled out.
4290.8	0 <sup>+</sup>	2881.9 10	100	1408.19	2 <sup>+</sup>	E2 <sup>d</sup>		B(E2)(W.u.)=4.3 +11-14
								Mult.: from mult.=Q and RUL, mult=M2 is ruled out.
		(4290.8)		0.0	0 <sup>+</sup>	E0		
4578.5	2 <sup>+</sup>	3170 <sup>b</sup>	100 14	1408.19	2 <sup>+</sup>	M1+E2 <sup>b</sup>	-0.10 9	B(M1)(W.u.)>0.067
		4579 2	43 14	0.0	0 <sup>+</sup>	E2 <sup>b</sup>		B(E2)(W.u.)>0.99
4655.3		608 <sup>d</sup> 1	12 <sup>d</sup> 4	4047.8	4 <sup>+</sup>			
		1361 <sup>d</sup> 1	100 <sup>d</sup> 20	3294.8	4 <sup>+</sup>			
4696?		3288 3	100 <sup>c</sup>	1408.19	2 <sup>+</sup>			
4700.1		1355 1	100 <sup>c</sup>	3344.8	3 <sup>+</sup>			
		2162 2	88 <sup>c</sup>	2538.1	4 <sup>+</sup>			
		3294 3	33 <sup>c</sup>	1408.19	2 <sup>+</sup>			
4781.9	3 <sup>-</sup>	1436 <sup>b</sup>	21 6	3344.8	3 <sup>+</sup>	E1 <sup>b</sup>		B(E1)(W.u.)=0.00055 25
		1487.2 9	33 8	3294.8	4 <sup>+</sup>	E1 <sup>b</sup>		B(E1)(W.u.)=0.0008 4
		2244.1 7	32 8	2538.1	4 <sup>+</sup>	E1 <sup>b</sup>		B(E1)(W.u.)=0.00022 10
		3373.9 12	100 13	1408.19	2 <sup>+</sup>	E1(+M2) <sup>b</sup>	-0.018 26	B(E1)(W.u.)=(0.00020 8); B(M2)(W.u.)=(0.03 +8-3)
4948.7	4 <sup>(+)</sup>	2001 <sup>b</sup>	18 6	2949.2	6 <sup>+</sup>			
		2409	100 9	2538.1	4 <sup>+</sup>	M1+E2 <sup>b</sup>	-0.36 +20-30	B(M1)(W.u.)=0.026 11; B(E2)(W.u.)=1.3 +14-13
		3537 5	64 15	1408.19	2 <sup>+</sup>			
5044.8	5 <sup>-</sup> ,6 <sup>+</sup>	1015.0 <sup>d</sup> 5	20 <sup>d</sup> 5	4030.9	5 <sup>+</sup>	(M1+E2) <sup>d</sup>	+2.7 <sup>d</sup>	$\alpha(K)$ =0.00017
		2097 <sup>d</sup> 1	100 <sup>d</sup> 14	2949.2	6 <sup>+</sup>	(D+Q) <sup>d</sup>	$\approx -1.0^d$	
5080	(1,2 <sup>+</sup> )	3672 5	100 <sup>c</sup>	1408.19	2 <sup>+</sup>			
		5080 7	43 <sup>c</sup>	0.0	0 <sup>+</sup>			
5145	2 <sup>+</sup>	3737 6	100 <sup>c</sup>	1408.19	2 <sup>+</sup>			
5248		3840 6	100 <sup>c</sup>	1408.19	2 <sup>+</sup>			
5278.8		1248.0 <sup>a</sup>		4030.9	5 <sup>+</sup>			
		3867 6	<sup>c</sup>	1408.19	2 <sup>+</sup>			
5392	2 <sup>+</sup>	3984 6	100 <sup>c</sup>	1408.19	2 <sup>+</sup>			

## Adopted Levels, Gammas (continued)

$\gamma(^{54}\text{Fe})$ (continued)									
$E_i(\text{level})$	$J_i^\pi$	$E_\gamma^\dagger$	$I_\gamma^\ddagger$	$E_f$	$J_f^\pi$	Mult.	$\delta^f$	$\alpha^g$	Comments
5431.1		386.3 <sup>a</sup>	100 <sup>a</sup>	5044.8	5 <sup>-</sup> , 6 <sup>+</sup>				
5453	(1, 2 <sup>+</sup> )	5453 7	100 <sup>c</sup>	0.0	0 <sup>+</sup>				
5461.2		2166.4 <sup>a</sup>	100 <sup>a</sup>	3294.8	4 <sup>+</sup>				
5482.0	3 <sup>+</sup> , 4 <sup>+</sup>	1435 <sup>d</sup> 1	12 <sup>d</sup> 4	4047.8	4 <sup>+</sup>				
		2944 <sup>d</sup> 1	100 <sup>d</sup> 15	2538.1	4 <sup>+</sup>	(M1+E2) <sup>d</sup>	$\approx -0.3^d$		Additional information 4.
		4074 <sup>h</sup> 5	100 <sup>c</sup>	1408.19	2 <sup>+</sup>				Additional information 5.
5506	(2 <sup>+</sup> )	4098 6	100 <sup>c</sup>	1408.19	2 <sup>+</sup>				
5539	3 <sup>-</sup>	4131 6	100	1408.19	2 <sup>+</sup>				
5621	(3 <sup>-</sup> )	4213 6	100 <sup>c</sup>	1408.19	2 <sup>+</sup>				
5809	2 <sup>+</sup>	4401 7	100 <sup>c</sup>	1408.19	2 <sup>+</sup>				
5828		4420 7	100 <sup>c</sup>	1408.19	2 <sup>+</sup>				
5919.3		2970 <sup>a</sup>	100 <sup>a</sup>	2949.2	6 <sup>+</sup>				
5927.4	7 <sup>+</sup>	881.9 <sup>d</sup> 3	20 <sup>d</sup> 3	5044.8	5 <sup>-</sup> , 6 <sup>+</sup>	M1(+E2) <sup>d</sup>	$+0.07^d$ +11-8		Additional information 6.
		1895 <sup>d</sup> 1	4.5 <sup>d</sup> 20	4030.9	5 <sup>+</sup>				
		2979 <sup>d</sup> 1	100 <sup>d</sup> 9	2949.2	6 <sup>+</sup>	M1+E2 <sup>d</sup>	$\approx -1.0^d$		Additional information 7.
5955	2 <sup>+</sup>	5955 8	100 <sup>c</sup>	0.0	0 <sup>+</sup>				
6038	(1, 2 <sup>+</sup> )	6038 8	100 <sup>c</sup>	0.0	0 <sup>+</sup>				
6128.7	1	1837.4 <sup>#</sup>	2.7 <sup>#</sup> 5	4290.8	0 <sup>+</sup>	[D]			
		2961.8 <sup>#</sup>	2.7 <sup>#</sup> 4	3166.0	2 <sup>+</sup>	[D]			
		4720.7 <sup>#</sup>	2.5 <sup>#</sup> 7	1408.19	2 <sup>+</sup>	[D]			
		6129.0 <sup>#</sup>	100 <sup>#</sup> 1	0.0	0 <sup>+</sup>	[D]			
6296.8	7 <sup>+</sup>	3348 <sup>d</sup> 2	100 <sup>d</sup>	2949.2	6 <sup>+</sup>				Additional information 8.
6380.9	8 <sup>+</sup>	3432.0 <sup>&amp;</sup> 18	100 <sup>&amp;</sup>	2949.2	6 <sup>+</sup>	E2 <sup>e</sup>			B(E2)(W.u.)=0.86 +16-22
6527.1	10 <sup>+</sup>	146.2 <sup>@</sup> 2	100.0 <sup>@</sup> 3	6380.9	8 <sup>+</sup>	E2 <sup>e</sup>		0.1173	$\alpha(K)=0.1032$ ; $\alpha(L)=0.01063$
		3577.6 <sup>@</sup>	2.0 <sup>@</sup> 2	2949.2	6 <sup>+</sup>	E4			B(E2)(W.u.)=1.69 4
									B(E4)(W.u.)=0.79 8
									Mult.: from $^{40}\text{Ca}(^{16}\text{O}, 2p\gamma)$ , based on a pulsed-beam search revealed a weak 10 <sup>+</sup> to 6 <sup>+</sup> E4 cross-over transition, see 1978NoZY.
6551.0		1069 <sup>d</sup> 1	40 <sup>d</sup> 20	5482.0	3 <sup>+</sup> , 4 <sup>+</sup>				
		3602 <sup>d</sup> 2	100 <sup>d</sup> 40	2949.2	6 <sup>+</sup>				
6724.1	9 <sup>+</sup>	197 <sup>d</sup> 2	100 <sup>d</sup>	6527.1	10 <sup>+</sup>	M1(+E2) <sup>d</sup>	$-0.07^d$ 6		B(M1)(W.u.) $\approx(0.070)$ ; B(E2)(W.u.) $\approx(19)$
6864.3	8 <sup>+</sup>	936.9 <sup>d</sup> 5	100 <sup>d</sup> 11	5927.4	7 <sup>+</sup>	M1(+E2) <sup>d</sup>	$-0.09^d$ 12		Additional information 9.
		1819 <sup>d</sup> 1	22 <sup>d</sup> 6	5044.8	5 <sup>-</sup> , 6 <sup>+</sup>				
		3915 <sup>d</sup> 2	83 <sup>d</sup> 8	2949.2	6 <sup>+</sup>	(E2) <sup>d</sup>			Additional information 10.
7074.8		778 <sup>d</sup> 1	44 <sup>d</sup> 22	6296.8	7 <sup>+</sup>				
		1148 <sup>dh</sup> 1	33 <sup>d</sup> 11	5927.4	7 <sup>+</sup>				

## Adopted Levels, Gammas (continued)

$\gamma(^{54}\text{Fe})$ (continued)								
$E_i(\text{level})$	$J_i^\pi$	$E_\gamma^\dagger$	$I_\gamma^\ddagger$	$E_f$	$J_f^\pi$	Mult.	$\delta^f$	Comments
7074.8		4126 <sup>d</sup> 3	100 <sup>d</sup> 22	2949.2	6 <sup>+</sup>			
7351.5	(9 <sup>+</sup> )	487.2 <sup>d</sup> 2	100 <sup>d</sup> 12	6864.3	8 <sup>+</sup>	M1(+E2) <sup>d</sup>	-0.01 <sup>d</sup> 7	Additional information 11.
		971.6 <sup>d</sup> 6	24 <sup>d</sup> 7	6380.9	8 <sup>+</sup>			
		1423.8 <sup>d</sup> 6	67 <sup>d</sup> 10	5927.4	7 <sup>+</sup>	(E2) <sup>d</sup>		Additional information 12.
7505	10 <sup>+</sup>	780.0 <sup>d</sup> 2	100 <sup>d</sup> 6	6724.1	9 <sup>+</sup>	M1(+E2) <sup>d</sup>	+0.06 <sup>d</sup> 6	
		978 <sup>d</sup> 1	15 <sup>d</sup> 2	6527.1	10 <sup>+</sup>			
7565.8		4617 <sup>d</sup> 3	100 <sup>d</sup>	2949.2	6 <sup>+</sup>			
8021	(11) <sup>+</sup>	1492.4 <sup>d</sup> 4	100 <sup>d</sup>	6527.1	10 <sup>+</sup>	M1(+E2) <sup>d</sup>	-0.02 <sup>d</sup> +14-12	Additional information 13.
8318.8	8 <sup>-</sup>	753 <sup>d</sup> 1	100 <sup>d</sup> 40	7565.8				
		1769 <sup>dh</sup> 2	40 <sup>d</sup> 20	6551.0				
		2022 <sup>d</sup> 1	40 <sup>d</sup> 20	6296.8	7 <sup>+</sup>			
8374.3	(10 <sup>+</sup> )	1994 <sup>d</sup> 1	100 <sup>d</sup>	6380.9	8 <sup>+</sup>	(E2) <sup>d</sup>		Additional information 14.
8577.8	(10 <sup>+</sup> )	559 <sup>d</sup> 1	19 <sup>d</sup> 5	8021	(11) <sup>+</sup>			
		1226.2 <sup>d</sup> 5	100 <sup>d</sup> 14	7351.5	(9 <sup>+</sup> )			Additional information 15.
8808.0	(11 <sup>+</sup> )	788.8 <sup>d</sup> 6	8.6 <sup>d</sup> 14	8021	(11) <sup>+</sup>			
		1304.5 <sup>d</sup> 4	100 <sup>d</sup> 13	7505	10 <sup>+</sup>	M1(+E2) <sup>d</sup>	+0.03 <sup>d</sup> +11-7	Additional information 16.
		2282 <sup>d</sup> 2	71 <sup>d</sup> 14	6527.1	10 <sup>+</sup>			
9123.6		1772 <sup>d</sup> 1	100 <sup>d</sup>	7351.5	(9 <sup>+</sup> )			
9845.3	(12 <sup>+</sup> )	1037.2 <sup>d</sup> 4	23 <sup>d</sup> 3	8808.0	(11 <sup>+</sup> )			Additional information 17.
		1826.4 <sup>d</sup> 7	100 <sup>d</sup> 6	8021	(11) <sup>+</sup>	M1 <sup>d</sup>		Additional information 18.
		2342 <sup>d</sup> 2	2.2 <sup>d</sup> 6	7505	10 <sup>+</sup>			
		3319 <sup>d</sup> 2	56 <sup>d</sup> 6	6527.1	10 <sup>+</sup>			
9995.4?		2492 <sup>dh</sup> 2	100 <sup>d</sup> 33	7505	10 <sup>+</sup>			
		3270 <sup>dh</sup> 3	100 <sup>d</sup> 33	6724.1	9 <sup>+</sup>			
10131.0	(12 <sup>+</sup> )	1323 <sup>d</sup> 1	100 <sup>d</sup> 14	8808.0	(11 <sup>+</sup> )			
		2112 <sup>d</sup> 1	45 <sup>d</sup> 9	8021	(11) <sup>+</sup>			
10542.0	(11)	1734 <sup>d</sup> 1	67 <sup>d</sup> 17	8808.0	(11 <sup>+</sup> )			
		1964 <sup>d</sup> 1	25 <sup>d</sup> 8	8577.8	(10 <sup>+</sup> )			
		2523 <sup>d</sup> 2	33 <sup>d</sup> 8	8021	(11) <sup>+</sup>			
		3037 <sup>d</sup> 2	33 <sup>d</sup> 8	7505	10 <sup>+</sup>			
		4016 <sup>d</sup> 1	100 <sup>d</sup> 17	6527.1	10 <sup>+</sup>			
11093.4	(13 <sup>+</sup> )	1248.1 <sup>d</sup> 3	100 <sup>d</sup> 3	9845.3	(12 <sup>+</sup> )	M1 <sup>d</sup>		Additional information 19.
		3074 <sup>d</sup> 2	8.8 <sup>d</sup> 9	8021	(11) <sup>+</sup>			
11113.6	(12)	571.5 <sup>d</sup> 4	100 <sup>d</sup> 7	10542.0	(11)	D+Q <sup>d</sup>		
		1118 <sup>dh</sup> 1	11 <sup>d</sup> 4	9995.4?				

**Adopted Levels, Gammas (continued)**

$\gamma(^{54}\text{Fe})$  (continued)

$E_i(\text{level})$	$J_i^\pi$	$E_\gamma^\dagger$	$I_\gamma^\ddagger$	$E_f$	$J_f^\pi$	Mult.	Comments
11113.6	(12)	2306 <sup>d</sup> 2	54 <sup>d</sup> 11	8808.0 (11 <sup>+</sup> )		D <sup>d</sup>	Additional information 20.
		3095 <sup>d</sup> 3	32 <sup>d</sup> 7	8021 (11) <sup>+</sup>			
12043.0	(13)	929.4 <sup>d</sup> 4	100 <sup>d</sup>	11113.6 (12)		D+Q <sup>d</sup>	Additional information 21.
12314.1	(14 <sup>+</sup> )	1220.7 <sup>d</sup> 4	100 <sup>d</sup> 8	11093.4 (13 <sup>+</sup> )		M1 <sup>d</sup>	
		2183 <sup>dh</sup> 2	2 <sup>d</sup> 1	10131.0 (12 <sup>+</sup> )			
12953.3	(14 <sup>+</sup> )	1860 <sup>d</sup> 1	100 <sup>d</sup>	11093.4 (13 <sup>+</sup> )		D+Q <sup>d</sup>	
13358.0		1315 <sup>d</sup> 1	100 <sup>d</sup>	12043.0 (13)			
14388.3		1435 <sup>d</sup> 1	8 <sup>d</sup> 4	12953.3 (14 <sup>+</sup> )			
		2074 <sup>d</sup> 2	100 <sup>d</sup> 20	12314.1 (14 <sup>+</sup> )			
15062.0?		1704 <sup>dh</sup> 2	100 <sup>d</sup>	13358.0			

<sup>†</sup> From (n,n' $\gamma$ ), except as noted.

<sup>‡</sup> Photon branching ratio, from (p,p' $\gamma$ ), except as noted.

# From ( $\gamma,\gamma'$ ).

@ From (<sup>16</sup>O,2p $\gamma$ ).

& From ( $\alpha$ ,2n $\gamma$ ).

<sup>a</sup> From (<sup>3</sup>He,2pn $\gamma$ ).

<sup>b</sup> From (p,p' $\gamma$ ).

<sup>c</sup> From (n,n' $\gamma$ ).

<sup>d</sup> From (<sup>36</sup>Ar,2 $\alpha$ 2p $\gamma$ ).

<sup>e</sup> From  $\gamma$ -ray linear polarization and angular correlations. in ( $\alpha$ ,2n $\gamma$ ).

<sup>f</sup> Based on p $\gamma(\theta)$  and  $\gamma\gamma(\theta)$  in (p,p' $\gamma$ ), except as noted.

<sup>g</sup> Total theoretical internal conversion coefficients, calculated using the BrIcc code (2008Ki07) with Frozen orbital approximation based on  $\gamma$ -ray energies, assigned multipolarities, and mixing ratios, unless otherwise specified.

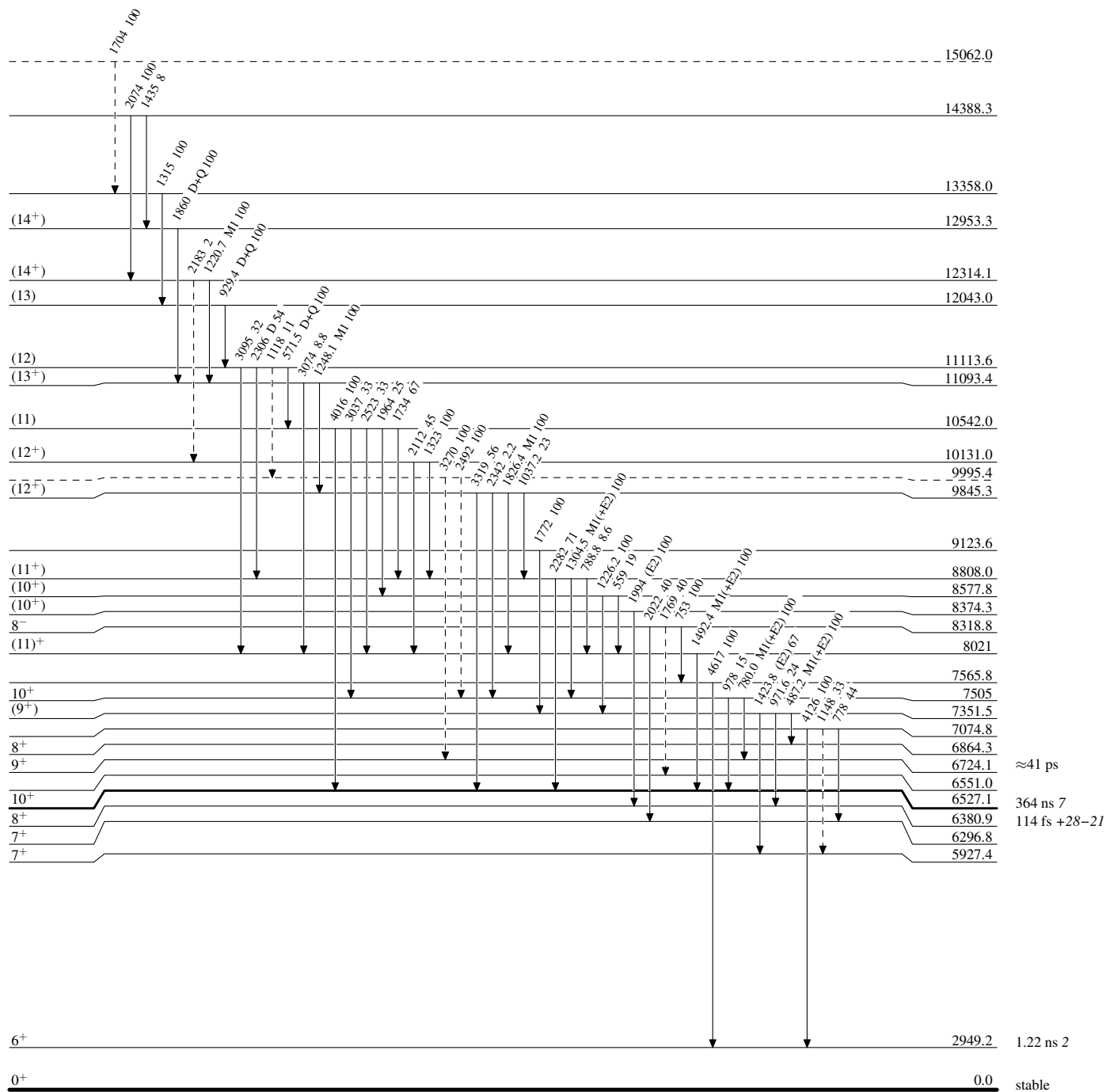
<sup>h</sup> Placement of transition in the level scheme is uncertain.

## Adopted Levels, Gammas

Legend

## Level Scheme

Intensities: Relative photon branching from each level

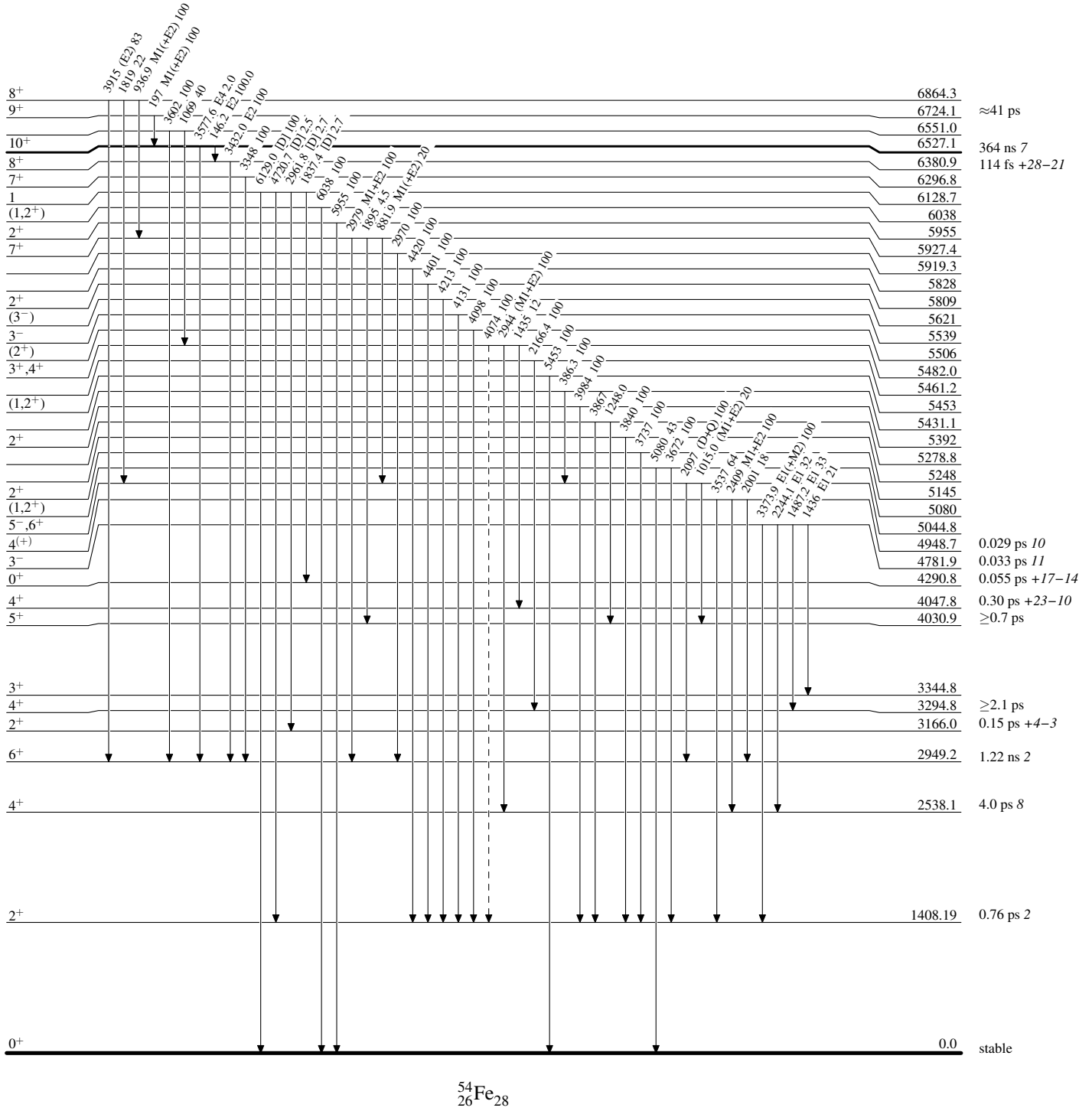
-----►  $\gamma$  Decay (Uncertain)

**Adopted Levels, Gammas**

Legend

**Level Scheme (continued)**

Intensities: Relative photon branching from each level

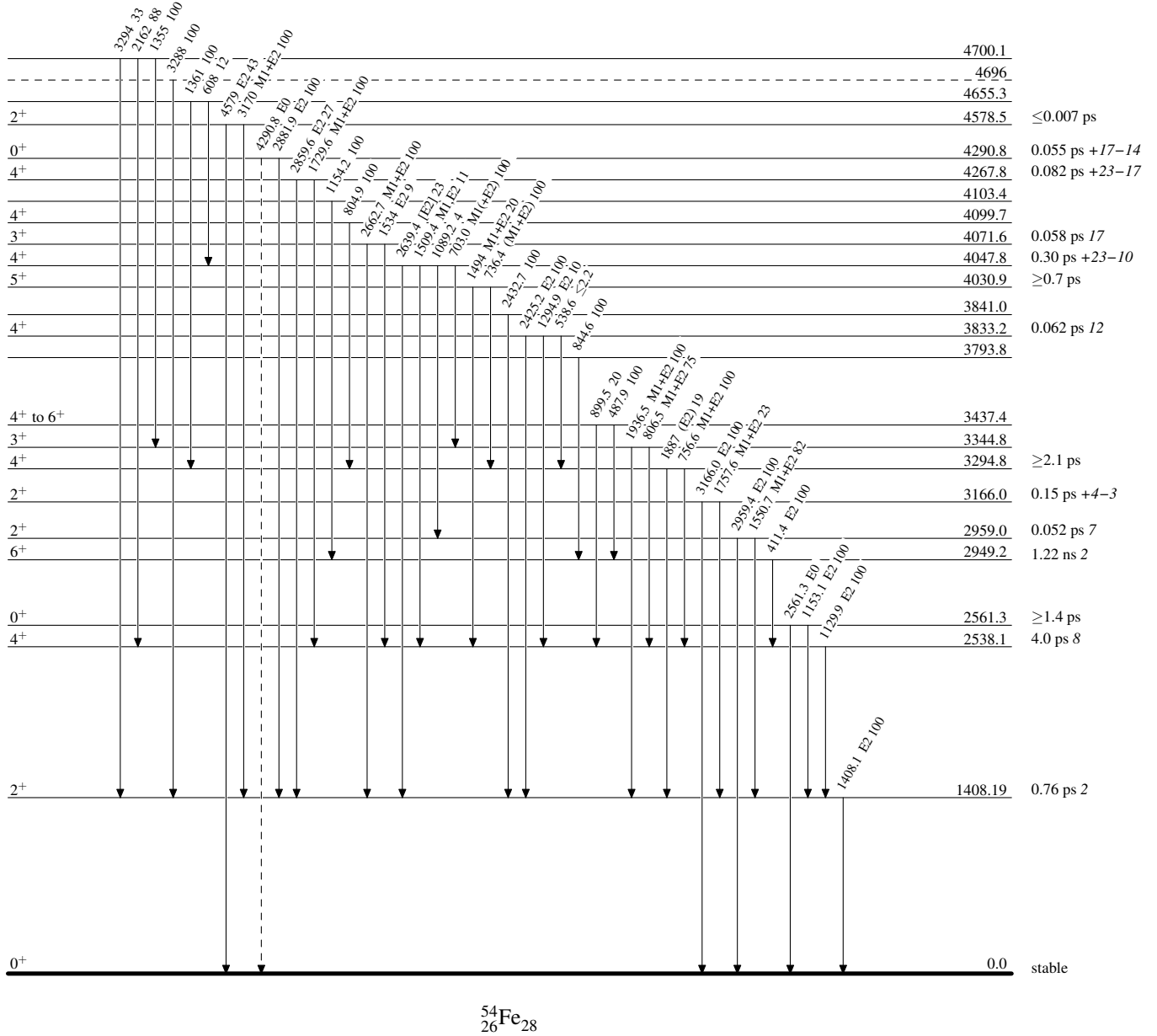
-----►  $\gamma$  Decay (Uncertain)

**Adopted Levels, Gammas**

Legend

**Level Scheme (continued)**

Intensities: Relative photon branching from each level

-----►  $\gamma$  Decay (Uncertain) $^{54}_{26}\text{Fe}_{28}$